

**ANALISIS MIKROPLASTIK PADA AIR, SEDIMEN DAN
KERANG LORJUK (*Solen sp.*) DI PANTAI TALANG SIRING
KABUPATEN PAMEKASAN**

SKRIPSI



**UIN SUNAN AMPEL
S U R A B A Y A**

Disusun Oleh:

**MIRNA NUR VALASIA
NIM: H71217035**

**PROGRAM STUDI BIOLOGI
JURUSAN SAINS
FAKULTAS SAINS DAN TEKNOLOGI
UNIVERSITAS ISLAM NEGERI SUNAN AMPEL
SURABAYA
2021**

PERNYATAAN KEASLIAN

Saya yang bertanda tangan dibawah ini,

Nama : Mirna Nur Valasia

NIM : H71217035

Program Studi : Biologi

Angkatan : 2017

Menyatakan bahwa saya tidak melakukan plagiat dalam penulisan skripsi saya yang berjudul **“ANALISIS MIKROPLASTIK PADA AIR, SEDIMEN DAN KERANG LORJUK (*Solen sp.*) DI PANTAI TALANG SIRING KABUPATEN PAMEKASAN”**. Apabila suatu nanti saya terbukti saya melakukan plagiat, maka saya bersedia menerima sanksi yang telah ditetapkan.

Demikian pernyataan keaslian ini saya buat dengan sebenar-benarnya

Surabaya, 10 Agustus 2021

Yang menyatakan,



Mirna Nur Valasia
NIM H71217035

HALAMAN PERSETUJUAN

Skripsi oleh

NAMA : Mirna Nur Valasia

NIM : H71217035

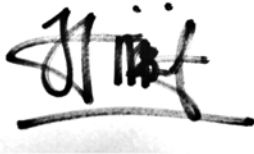
JUDUL : Analisis Mikroplastik pada Air, Sedimen dan Kerang

Lorjuk (*Solen sp.*) di Pantai Talang Siring Kabupaten Pamekasan

Telah diperiksa dan disetujui untuk diujikan.

Surabaya, 10 Agustus 2021

Dosen Pembimbing Utama



Dr. Moch. Irfan Hadi, S.KM, M.KL

NIP. 198604242014031003

Dosen Pembimbing Pendamping



Ita Ajnun Jariyah, M.Pd

NIP. 198612052019032012

PENGESAHAN TIM PENGUJI SKRIPSI

Skripsi Mirna Nur Valasia ini telah
dipertahankan di depan tim penguji skripsi
di Surabaya, 10 Agustus 2021


Mengesahkan,
Dewan Penguji,

Penguji I



Dr. Moch. Irfan Hadi, S.KM, M.KL
NIP. 198604242014031003

Penguji II



Ita Ainun Jariyah, M.Pd
NIP. 198612052019032012

Penguji III



Widya Nilandita, M.KL
NIP. 198410072014032002

Penguji IV



Saiful Bahri, M.Si
NIP. 198804202018011002

Dekan Fakultas Sains dan Teknologi

DIN Sunan Ampel Surabaya



Dr. Evi Fatimuzur Rusydiyah, M.Ag

NIP. 197312272005012003



KEMENTERIAN AGAMA
UNIVERSITAS ISLAM NEGERI SUNAN AMPEL SURABAYA
PERPUSTAKAAN

Jl. Jend. A. Yani 117 Surabaya 60237 Telp. 031-8431972 Fax.031-8413300
E-Mail: perpus@uinsby.ac.id

LEMBAR PERNYATAAN PERSETUJUAN PUBLIKASI
KARYA ILMIAH UNTUK KEPENTINGAN AKADEMIS

Sebagai sivitas akademika UIN Sunan Ampel Surabaya, yang bertanda tangan di bawah ini, saya:

Nama : MIRNA NUR VALASIA
NIM : H71217035
Fakultas/Jurusan : SAINS DAN TEKNOLOGI/BIOLOGI
E-mail address : mirnavalasia@gmail.com

Demi pengembangan ilmu pengetahuan, menyetujui untuk memberikan kepada Perpustakaan UIN Sunan Ampel Surabaya, Hak Bebas Royalti Non-Eksklusif atas karya ilmiah :

Skripsi Tesis Desertasi Lain-lain
(.....)

yang berjudul :

ANALISIS MIKROPLASTIK PADA AIR, SEDIMEN DAN KERANG LORJUK

(Solen sp.) DI PANTAI TALANG SIRING KABUPATEN PAMEKASAN

beserta perangkat yang diperlukan (bila ada). Dengan Hak Bebas Royalti Non-Eksklusif ini Perpustakaan UIN Sunan Ampel Surabaya berhak menyimpan, mengalih-media/format-kan, mengelolanya dalam bentuk pangkalan data (database), mendistribusikannya, dan menampilkan/mempublikasikannya di Internet atau media lain secara **fulltext** untuk kepentingan akademis tanpa perlu meminta ijin dari saya selama tetap mencantumkan nama saya sebagai penulis/pencipta dan atau penerbit yang bersangkutan.

Saya bersedia untuk menanggung secara pribadi, tanpa melibatkan pihak Perpustakaan UIN Sunan Ampel Surabaya, segala bentuk tuntutan hukum yang timbul atas pelanggaran Hak Cipta dalam karya ilmiah saya ini.

Demikian pernyataan ini yang saya buat dengan sebenarnya.

Surabaya, 10 Agustus 2021
Penulis

(MirnaNur Valasia)

yang berbahaya bagi manusia dan makhluk hidup lainnya. Kerusakan yang dilakukan manusia dilakukan di daratan dan di lautan. Sampah yang dibuang di sungai akan mengalir hingga ke laut dan terakumulasi di perairan laut. Sampah ini berdampak buruk pada fauna laut. Sejumlah 5% plastik hasil produksi setiap tahun akan berakhir mencemari laut (Jambeck et al., 2015).

Jambeck *et al.* (2015), menyebutkan bahwa Indonesia adalah kontributor sampah plastik terbesar ke-2 di dunia setelah China, dengan berat sampah 0,48 –1,29 juta ton sampah plastik/tahun. Jumlah ini terus naik seiring dengan meningkatnya penggunaan plastik di masyarakat. Sampah plastik dapat membahayakan fauna laut. Data keberadaan mikroplastik pada fauna laut di Indonesia masih minim sedangkan Indonesia merupakan kontributor sampah plastik terbesar kedua di dunia (Jambeck *et al.*, 2015).

Akumulasi mikroplastik yang tersebar pada air dan sedimen dapat termakan oleh bentik fauna air dan menimbulkan efek yang buruk pada rantai makanan yang berdampak pada struktur komunitas. Tingkat akumulasi mikroplastik semakin tinggi pada organisme dengan tingkat tropik yang tinggi. Dampak mikroplastik pada organisme laut yaitu luka internal, luka eksternal, penyumbatan pada saluran pencernaan, menurunnya kapasitas makanan yang dapat dicerna, berkurangnya energi yang dihasilkan hingga menyebabkan kematian (Ramadhani, 2019).

Keberadaan mikroplastik pada kerang mengakibatkan jaringan kerang tidak murni lagi atau mengalami kondisi yang tidak normal (Moore *et al.*, 2011). Bahaya yang ditimbulkan oleh kerang lorjuk yang terkontaminasi mikroplastik terhadap manusia jika mikroplastik berada dalam lumen akan

dapat berinteraksi dengan darah melalui proses adsorpsi pada organ pencernaan manusia dan dapat mengisi protein dan glikoprotein, hal ini dapat menyebabkan penyakit pencernaan berupa menurunnya sistem imun dan pembengkakan pada organ usus manusia. Mikroplastik dengan ukuran sangat kecil berpotensi untuk masuk ke jaringan organ lain (Hollman *et al.*, 2013).

Penelitian terdahulu mengenai mikroplastik pada kerang darah (*Anadara granosa*) telah dilakukan di Tambak Lordok Semarang. Sampel air, kerang darah, dan sedimen telah terideteksi mengandung mikroplastik, jenis mikroplastik tertinggi yang ditemukan pada sampel air, sedimen dan kerang darah adalah fiber (Fitri, 2017). Penelitian mikroplastik pada hewan *filter feeder* telah dilakukan di padang lamun Kepulauan Spermonde Kota Makassar yang membuktikan bahwa jumlah mikroplastik yang didapatkan dari spesies *Pinna muricata* sebanyak 3 partikel, *Pinctada* sp. sebanyak 2 partikel, dan *Malleus* sp. sebanyak 2 partikel. Jenis mikroplastik yang ditemukan di Pulau Kodingareng Lompo, Bonetambung dan Langkai adalah jenis *fiber* atau *filamen*, juga tidak ada hubungan antara tutupan lamun terhadap kelimpahan mikroplastik di padang lamun Kepulauan Spermonde Kota Makassar (Sari, 2018).

Hewan *filter feeder* menyaring partikel-partikel tersuspensi di area perairan, sehingga hewan *filter feeder* memiliki peran yang penting bagi ekosistem karena dapat menjaga perairan tetap jernih (Sari, 2018). Salah satu hewan yang bersifat *filter feeder* adalah kerang. Kerang bersifat *filter feeder* dimana kerang akan menyaring air dan memakan zat-zat makanan seperti fitoplankton dan organisme mikroskopik lainnya. Jenis kerang yang banyak

2002 produksi plastik seberat 204 Mton dan meningkat pada tahun 2013 yaitu sebanyak 299 Mton (Oliver et al., 2015). Semakin banyak plastik yang digunakan oleh manusia, semakin banyak pula sampah yang dibuang ke lingkungan. Sampah plastik telah menyebar hingga ke seluruh wilayah perairan laut di dunia. Sampah plastik yang tersebar memiliki berbagai ukuran, dari plastik yang berukuran mikroskopik hingga makroskopik ditemukan di hampir seluruh wilayah laut di dunia. Sampah plastik ditemukan telah mencemari lokasi wilayah laut terpencil seperti Artik, Laut Selatan, hingga dasar laut terdalam tidak terbebas dari kontaminasi sampah plastik (Barnes *et al.*, 2010)

Sampah plastik berasal dari bahan sintesis dari hasil polimerisasi dari berbagai macam monomer yaitu stirena, vinil klorida dan akrilonitril. Sifat dari polimer plastik sangat stabil yang mengakibatkan plastik selalu dalam kondisi utuh sebagai polimer kompleks dalam jangka waktu yang sangat lama (Hapitasari, 2016). Plastik akan melayang atau mengapung diatas permukaan laut karena arus laut sehingga plastik akan terkoyak dan terdegradasi karena terpapar sinar matahari, oksidasi dan abrasi mekanik sehingga membentuk partikel mikroplastik (Thompson *et al.*, 2009).

Plastik memiliki waktu degradasi yang sangat lama di lingkungan laut. Plastik mampu menyerap bahan kimia beracun seperti PBTs (*Persistent, Bioaccumulative and Toxic substances*) dan POPs (*Persistent organic pollutants*). Plastik yang terdegradasi menjadi partikel kecil disebut dengan mikroplastik. Mikroplastik memiliki ukuran 0,3mm- >5mm (Ayuningtyas, 2019).

untuk di degradasi secara alami di alam, maka sampah ini tergolong limbah penyumbang kerusakan alam terbesar (Asia dan Arifin, 2017).

Mikroplastik terbentuk akibat adanya radiasi sinar UV dari matahari, arus laut, dan bahan baku plastik yang bersifat oksidatif, juga dipengaruhi oleh sifat hidrolitik dari air laut sehingga dapat mengubah plastik menjadi partikel yang lebih kecil (Andrady, 2011). Mikroplastik berbentuk *fragmen* berasal dari sampah botol minuman, sampah wadah toples, sampah berbahan mika, serpihan galon air dan serpihan dari pipa paralon (Dewi *et al.*, 2015). Mikroplastik berbentuk *fiber* umumnya terbentuk dari serat sintesis tali tampar yang telah terdegradasi karena lama terkena air dan terpapar sinar matahari, juga dapat berasal dari alat pancing, jaring yang telah rusak dan juga tali plastik tipis yang mudah terurai (Katsanevakis dan Katsarou 2004). Mikroplastik berbentuk *film* umumnya terbentuk dari kemasan produk makanan siap saji yang umumnya transparan (Dewi *et al.*, 2015).

Sumber mikroplastik dibagi menjadi dua, yaitu mikroplastik primer dan sekunder. Mikroplastik primer merupakan partikel plastik murni yang mencemari laut disebabkan oleh kelalaian dalam penanganan. Mikroplastik ini umumnya berasal dari *scrub* pada sabun, dan juga hasil degradasi tekstil berbahan sintesis. Mikroplastik sekunder berasal dari benda berbahan plastik yang berukuran lebih besar, plastik ini mengalami degradasi secara alami karena faktor lingkungan seperti cahaya matahari, abrasi dan oksidasi yang terjadi di laut sehingga terpecah menjadi fragmen-fragmen kecil mikroplastik. Pada proses terpecahnya plastik menjadi partikel yang lebih

yang lebih kecil dan berpotensi menyebabkan masalah yang lebih serius (Tankovic *et al.*, 2015).

Akumulasi mikroplastik yang tersebar pada sedimen dapat termakan oleh bentik fauna air dan menimbulkan efek yang buruk pada rantai makanan yang berdampak pada struktur komunitas. Tingkat akumulasi mikroplastik semakin tinggi pada organisme dengan tingkat tropik yang tinggi. Dampak mikroplastik pada organisme laut yaitu luka internal, luka eksternal, penyumbatan pada saluran pencernaan, menurunnya kapasitas makanan yang dapat dicerna, berkurangnya energi yang dihasilkan hingga menyebabkan kematian (Ramadhani, 2019).

2.3 Mikroplastik pada Kerang Lorjuk

Kerang lorjuk atau kerang pisau (*Solen* sp.) tergolong dalam Famili Solenidae. Morfologi kerang lorjuk dicirikan dengan bentuk cangkang yang berukuran kecil dan memanjang dengan salah satu ujungnya yang berbentuk runcing menyerupai mata pisau, kerang ini umumnya berdiri tegak di pantai yang berpasir. Kerang lorjuk melindungi diri dari musuh dengan cara menenggelamkan tubuhnya di pasir (Ditjen PPHP, 2010).

Kerang lorjuk (*Solen* sp.) pada tahap pertumbuhan optimal memiliki panjang tubuh 5 - 7,5 cm. Tubuh kerang ini tipis, memanjang, simetris di kedua sisi samping dan memiliki lubang di kedua sisi cangkangnya. Permukaan cangkang halus dan mengkilap dengan sedikit kerutan konsentris yang halus (Fetrisia, 2011). Morfologi kerang lorjuk dapat dilihat pada Gambar 2.2

dapat berinteraksi dengan darah melalui proses penyerapan atau adsorpsi pada organ pencernaan manusia dan dapat mengisi protein dan glikoprotein, hal ini dapat menyebabkan penyakit pencernaan berupa menurunnya sistem imun dan pembengkakan pada organ usus manusia, Mikroplastik dengan ukuran sangat kecil berpotensi untuk masuk ke dalam jaringan organ lain (Hollman *et al.*, 2013).

Mikroplastik bersifat toksik bagi kerang lorjuk (*Solen sp.*) maupun manusia yang mengkonsumsinya karena mikroplastik mengandung senyawa kimia tambahan yang digunakan sebagai bahan tambahan pada saat produksi plastik, selain itu mikroplastik dapat menyerap kontaminan lain yang ada di lingkungannya (Rochman, 2015). Mikroplastik yang masuk pada tubuh kerang dan dapat tercerna mengakibatkan tubuh kerang akan tercemar oleh racun dan bahan-bahan kimia berbahaya (Jovanovic, 2017).

2.4 Mikroplastik pada Air Laut

Mikroplastik yang terdapat di lautan dapat bertahan dalam jangka waktu yang sangat lama. Mikroplastik di lautan dapat bersifat toksik bagi organisme yang hidup di laut, hal ini dikarenakan mikroplastik ini dapat menyerap bahan kimia yang beracun yang ada di lingkungan sekitarnya. Bahan kimia beracun yang diserap oleh mikroplastik adalah PBTs (*Presistent, bioaccumukative and toxic substances*) dan POPs (*Presistent organic pollutants*) sehingga apabila mikroplastik yang telah menyerap bahan kimia ini akan semakin berbahaya apabila tertelan oleh fauna laut (Barnes *et al.*, 2009).

Mikroplastik yang mencemari air bersifat presisten sehingga sulit untuk di hilangkan karena memiliki ukuran yang kecil sehingga mencemari laut dalam jumlah yang tinggi dan tersebar hampir diseluruh perairan laut. Mikroplastik ditemukan paling banyak dalam perairan laut, sebanyak 85% mikroplastik yang mencemari perairan laut (Barasarathi *et al.*, 2014). Sebagian besar partikel mikroplastik yang mencemari air laut memiliki diameter kurang dari 5 mm dan mikroplastik ini telah banyak ditemukan di banyak perairan lautan di seluruh dunia (Cleassens *et al.*, 2013).

Tersebarnya cemaran mikroplastik pada perairan laut ditentukan oleh beberapa faktor yang mempengaruhi. Parameter oseanografi mempengaruhi persebaran mikroplastik melalui arus laut, pasang surut dan faktor lainnya sehingga terjadi distribusi sampah mikroplastik dari suatu wilayah perairan laut ke perairan laut lainnya (Zhang *et al.*, 2017).

2.5 Mikroplastik pada Sedimen

Sedimen merupakan pecahan, mineral, atau material organik yang berasal dari berbagai bahan bebatuan dan sumber lain yang diendapkan oleh faktor udara, es, angin, dan air. Sedimen berasal dari material yang melayang di air dan akan mengendap karena pengaruh gravitasi bumi (Pipkin, 1977). Sedimen laut merupakan akumulasi dari berbagai mineral dan pecahan batuan yang bercampur dengan hancuran cangkang dan tulang-tulang organisme serta partikel lain yang bersumber dari proses kimia yang terjadi di perairan laut (Gross, 1990).

Faktor terjadinya sedimentasi yaitu berat jenis dan kekentalan media. Berat jenis suatu media akan berpengaruh pada gerakan media, terutama media cair seperti air laut. Air yang mengalir bergerak turun karena dipengaruhi oleh gaya gravitasi bumi. Massa jenis sedimen yang lebih besar dibandingkan media air akan menyebabkan pengendapan. Jenis sedimen berdasarkan ukuran partikel tanah serta komposisi mineral digolongkan pada jenis sedimen pasir, liat dan lain-lain. Faktor yang mempengaruhi pengendapan sedimen yaitu kecepatan arus, kondisi dasar laut, turbulensi, dan diameter sedimen tersebut (Supriharyono, 2002).

Mikroplastik yang ditemukan pada sedimen dipengaruhi oleh gaya gravitasi bumi dan ukuran densitas plastik yang lebih tinggi dibandingkan media air yang memiliki densitas lebih rendah. Hal tersebut yang mengakibatkan mikroplastik tenggelam dan terakumulasi dalam sedimen (Ramadhani, 2019).

- b. Air laut merupakan habitat utama fauna laut yang menentukan kelangsungan hidup berbagai hewan laut dan pesisir. Air laut diambil dari tiga titik pengambilan sampel dilakukan secara acak pada 3 titik lokasi pengambilan sampel di Pantai Talang Siring Kabupaten Pamekasan. Pengulangan pada pengambilan sampel air laut dilakukan saat pasang dan surut. Total sampel air laut sebanyak 6 sampel.
- c. Sedimen adalah fragmen-fragmen material yang terbawa air maupun angin yang telah mengalami pengendapan di dasar perairan. Sedimen yang digunakan pada penelitian ini adalah sedimen dimana lokasi pengambilan sedimen dilakukan secara acak pada 3 stasiun, masing-masing stasiun terdiri dari 3 plot pengambilan sampel sedimen berukuran 1x1 m yang berlokasi Pantai Talang Siring. Pengulangan pada pengambilan sampel sedimen dilakukan saat pasang dan surut. Total sampel sedimen sebanyak 18 sampel.
- d. Kerang Lorjuk (*Solen* sp.) tergolong dalam Kelas Bivalvia. Bagian tubuh kerang lorjuk akan diteliti keberadaan mikroplastiknya. Sampel kerang lorjuk yang diambil memiliki ukuran panjang cangkang ± 5 cm karena merupakan pertumbuhan optimal kerang lorjuk (Fetrisia, 2011). Pengambilan sampel Kerang lorjuk dilakukan secara acak pada 3 titik lokasi pengambilan sampel masing-masing titik diambil sebanyak 10 kerang lorjuk dengan ukuran yang sama (Su *et al.*, 2018), pengambilan sampel kerang lorjuk berlokasi di Pantai Talang Siring Kabupaten Pamekasan. Pengulangan pengambilan sampel kerang lorjuk dilakukan sebanyak dua kali saat surut sehingga total kerang lorjuk yang dibutuhkan sebanyak 60 ekor.

hingga densitas mikroplastik dengan sedimen terpisah dengan baik. Mikroplastik yang memiliki massa yang ringan akan mengambang di permukaan larutan. Mikroplastik yang mengambang disaring menggunakan kertas saring whatman 41, selanjutnya kertas saring dimasukkan dalam cawan petri dan dibilas dengan 5ml air, bila ditemukan banyak partikel organik ditambahkan 5ml KOH 10% dan 5ml H₂O₂ 30% diamkan selama 24 jam di suhu ruangan (Al-Azzawi et al., 2020). Selanjutnya diamati karakteristik dan kelimpahan mikroplastik menggunakan mikroskop stereo. Mikroplastik yang telah diamati diambil dan disimpan dalam aluminium foil (A'yun, 2019). Pengamatan jenis polimer plastik secara spesifik dilakukan menggunakan FT-IR (Ramadhani, 2019).

2. Pemisahan Sampel Air

Pemisahan mikroplastik dari air laut dilakukan dengan cara pengeringan menggunakan oven dengan suhu 125°C selama 12 jam. Selanjutnya ditambahkan NaCl sebanyak 3x berat endapan untuk memisahkan mikroplastik dari endapan air laut, diaduk selama dua menit (Claessens *et al.* 2011). Setelah pengadukan rendaman sampel endapan air laut didiamkan selama 24 jam, selanjutnya mikroplastik yang mengambang disaring menggunakan kertas saring whatman 41. Kertas saring dibilas menggunakan air pada cawan petri. Selanjutnya diamati karakteristik dan kelimpahan mikroplastik menggunakan

mikroskop stereo dan pengamatan jenis polimer plastik secara spesifik dilakukan menggunakan FT-IR (Ramadhani, 2019; A'yun, 2019).

3. Pemisahan Sampel Kerang Lorjuk (*Solen* sp.)

Kerang lorjuk yang telah diperoleh diukur panjang total (TL) dan diitimbang berat total (w), selanjutnya diambil dagingnya menggunakan alat bedah. Daging kerang lorjuk di timbang menggunakan timbangan analitik, selanjutnya daging lorjuk dihaluskan dengan mortar dan alu. Daging kerang yang telah halus dipindahkan kedalam erlenmeyer lalu ditambahkan KOH 10% sebanyak 3x berat sampel, diaduk selama dua menit lalu di diamkan 24 jam pada suhu 60°C (Yudhantari *et al.*, 2019) bila pada inkubasi pertama masih terdapat sisa daging kerang maka dilakukan inkubasi kedua dengan menambahkan larutan H_2O_2 30% sebanyak 5 ml lalu diinkubasi selama 24 jam pada suhu ruangan (Yudhantari *et al.*, 2019). tahap selanjutnya dilakukan penyaringan menggunakan kertas saring *whatman nitrate cellulose* selanjutnya ditutup dengan alumunium foil dan dikeringkan dengan oven untuk mempermudah pengamatan (Yudhantari *et al.*, 2019). Selanjutnya diamati karakteristik dan kelimpahan mikroplastik menggunakan mikroskop stereo dan pengamatan jenis plastik secara spesifik dilakukan menggunakan FT-IR (Ramadhani, 2019; A'yun, 2019).

4. Pengamatan dan Identifikasi Jenis Mikroplastik

Pengamatan dan Identifikasi jenis mikroplastik yang di dapat dari sampel air, sedimen dan kerang lorjuk dilakukan menggunakan mikroskop stereo. Sampel mikroplastik diambil dari alumunium foil lalu diletakkan pada cawan petri untuk diamati menggunakan mikroskop stereo dengan perbesaran 40x dan 100x. Sampel mikroplastik diamati berdasarkan bentuk, warna dan ukuran (A'yun, 2019).

5. Uji FT-IR (*Fourier Transform Infrared*)

Uji FT-IR digunakan untuk mengetahui jenis polimer dan kelimpahan mikroplastik yang telah ditemukan pada sampel air, sedimen dan kerang lorjuk. Mikroplastik yang didapat langsung dianalisis senyawa penyusunnya menggunakan FT-IR Bruker Alpha II. Data spektrum FT-IR disimpan dalam bentuk *file xls* (Rafi et al., 2016).

Uji FT-IR menggunakan rentan panjang gelombang 450-4000 cm^{-1} (Ni'mah *et al.*, 2009). Software yang digunakan untuk membaca spektrum yang dihasilkan mikroplastik pada uji FT-IR kemudian dicocokkan dengan spektrum standar berdasarkan database polimer yaitu dengan menggunakan *Euclidean Distance* untuk menentukan jenis polimer penyusun dari sampel mikroplastik tersebut (Lusher *et al.*, 2013).

plastik dan berbagai kemasan makanan yang terdegradasi menjadi mikroplastik dengan warna yang lebih transparan (Hiwari *et al.*, 2019). Cemaran plastik yang ada pada perairan laut berasal dari daratan yang membawa sampah plastik ke laut, selanjutnya arus laut membantu persebaran dari mikroplastik (Pawar *et al.*, 2016).

Mikroplastik bentuk *fragmen* paling banyak ditemukan pada stasiun 2 pasang dan stasiun 3 pasang dengan jumlah yang sama yaitu masing-masing 13 partikel/ 500 ml air, sedangkan mikroplastik bentuk *fragmen* dengan jumlah terendah ada pada stasiun 2 surut dan stasiun 3 surut dengan jumlah yang sama yaitu masing-masing 3 partikel. Tingginya mikroplastik *fragmen* pada stasiun 3 dikarenakan banyaknya sampah botol plastik, pecahan alat penangkapan ikan. Tingginya mikroplastik bentuk *film* dan *fragmen* pada stasiun 2 dipengaruhi oleh aktivitas pariwisata di Pantai Talang Siring. Sampah kantong plastik, bungkus snack dan botol minum yang diduga berasal dari pengunjung Pantai Talang Siring yang terbuang di laut turut menyumbangkan sampah plastik pada perairan pesisir pantai.

Kelimpahan bentuk mikroplastik tertinggi secara keseluruhan adalah mikroplastik bentuk *fiber*. Jumlah total mikroplastik bentuk *fiber* pada saat pasang adalah 123 partikel. Jumlah mikroplastik bentuk *fiber* pada saat surut adalah 46 partikel. Penelitian sebelumnya mengenai jumlah mikroplastik pada air laut di perairan Teluk Kupang jumlah mikroplastik *fiber* pada saat pasang dan surut merupakan bentuk yang paling banyak ditemukan yaitu saat pasang sebesar 0,0902 partikel/l dan pada saat surut sebesar 0,0669 partikel/l (Kapo *et al.*, 2020).

Kelimpahan mikroplastik terendah secara keseluruhan adalah mikroplastik bentuk *fragmen* dengan jumlah total mikroplastik fragmen saat pasang yaitu 36 partikel/ 500 ml air laut dan saat surut sebanyak 12 partikel/ 500 ml air laut. Mikroplastik *fragmen* merupakan yang paling sedikit ditemukan pada sampel air karena dipengaruhi oleh *specific gravity* mikroplastik *fragmen* yang lebih tinggi dibandingkan dengan mikroplastik *film* dan *fiber*. Penguraian sampah plastik menjadi partikel mikroplastik dipengaruhi oleh densitas komposisi plastik tersebut. Semakin rendah densitas maka semakin cepat sampah plastik terfragmentasi menjadi mikroplastik (Ramadhani, 2019). Mikroplastik *fragmen* ditemukan memiliki polimer PEVAC yang tergolong dalam jenis polimer PVC karena sama-sama terbuat dari *petrochemicals* memiliki *specific gravity* 1,16-1,30 g/cm³ dan juga PET yang memiliki *specific gravity* 1,22-1,24 g/cm³ sedangkan mikroplastik *film* dan *fiber* umumnya tersusun dari polimer *polyethylene* dan *polypropylene* yang memiliki *specific gravity* lebih rendah yaitu *polyethylene* 0,91 - 0,95 g/cm³ dan *polypropylene* 0,90 - 0,92 g/cm³ (Widinarko dan Inneke, 2018; Yu, *et al.*, 2016).

4.4 Warna Mikroplastik pada Sampel Air

Pengamatan warna mikroplastik dilakukan untuk mengetahui kelimpahan warna mikroplastik yang terdapat pada air, sedimen dan kerang lorjuk (*Solen sp.*). Presentase warna mikroplastik pada sampel air Pantai Talang Siring dapat dilihat pada Gambar 4.5 berikut.

mikroplastik dan partikel organik pada wilayah tersebut, hal ini disebabkan oleh mikroplastik yang berwarna hitam memiliki kemampuan menyerap polutan yang tinggi (Hiwari *et al.*, 2019).

Penelitian sebelumnya mengenai sampah mikroplastik dari permukaan air laut sekitar Kupang dan Rote, Provinsi Nusa Tenggara Timur menemukan berbagai warna mikroplastik dengan persentase yang berbeda-beda yaitu warna hitam sebanyak 50%, biru sebanyak 18%, coklat dan abu-abu presentase 8%, kuning 6%, transparan 4%, ungu dan merah 2%, lalu hijau dan merah muda 1%, yang paling sedikit ditemukan yaitu warna putih 0% (Hiwari *et al.*, 2019).

4.5 Ukuran Mikroplastik pada Sampel Air

Ukuran mikroplastik dibagi menjadi dua yaitu mikroplastik berukuran besar yaitu mikroplastik yang berukuran 1 mm hingga ≤ 5 mm dan mikroplastik berukuran kecil yaitu mikroplastik yang memiliki ukuran 1000 μ m hingga 1 μ m (Wahdani *et al.*, 2020). Pada sampel air Pantai Talang Siring ditemukan mikroplastik berukuran besar sebanyak 151 dan mikroplastik berukuran kecil sebanyak 127 partikel. Perbedaan ukuran mikroplastik dipengaruhi oleh perubahan komposisi sampah plastik yang dipengaruhi oleh faktor lingkungan berupa cahaya matahari, radiasi panas, oksidasi, dan pertumbuhan biofilm sinar matahari sehingga dapat terjadi perubahan ukuran mikroplastik (Guo dan Wang, 2019). Penelitian sebelumnya mengenai ukuran mikroplastik pada air laut dilakukan di Laut Kuning yaitu laut yang membatasi daratan Tiongkok dan Semenanjung Korea, mikroplastik yang paling banyak ditemui berukuran $<500\mu$ m sebanyak 79%, 78% dan 76% masing-masing pada bulan Januari,

Hasil uji FT-IR mikroplastik *fragmen A* dan *fragmen B* pada sampel air keduanya memiliki puncak spektrum yang mirip, sampel mikroplastik A dan B tampak serapan pada *wavenumber* 2916, 2849, 1737 dan 1465 cm^{-1} dan juga masih memiliki ikatan pita CH_2 pada 700-770 cm^{-1} . Mikroplastik fragmen A dan B tergolong dalam *poly (ethylene-co-vinyl acetate-co-vinyl chloride)* (PEVAC). PEVAC merupakan gabungan antara polimer *polyethylene* dengan ikatan CO Mikroplastik dengan gugus *polyethylene* ditandai dengan terdapat dua pita serapan yang masing-masing berada disekitar *wavenumber* 2917 dan 2851 cm^{-1} yang menandakan adanya ikatan CH_2 , selain itu terdapat pita disekitar 1471 yang menandakan adanya ikatan CH_2 , sedangkan serapan gelombang disekitar 1730 cm^{-1} menandakan adanya ikatan $\text{C}=\text{O}$ yang mencirikan PEVAC (Obbard, 2006; Frias *et al.*, 2014; Perez *et al.*, 2020).

Mikroplastik yang ditemukan dari sampel air Pantai Talang Siring Kabupaten Pamekasan, Jawa Timur memiliki 3 jenis polimer penyusun yaitu *polyethylene*, *polypropylene* dan PEVAC. Mikroplastik dengan polimer dasar PEVAC merupakan bahan umum yang digunakan dalam berbagai aktivitas manusia. Polimer PEVAC dapat ditemui pada pipa, peralatan isolasi listrik dan juga *EVA foams* (Li *et al.*, 2016). Sampah pecahan pipa berada pada stasiun 3 yang diduga berasal dari pecahan dari keramba ikan dan juga kapal nelayan. Polimer *polypropylene* dan *polyethylene* umumnya digunakan sebagai bahan pembuatan kantong plastik (Nor dan Obbard, 2014). Sampah plastik banyak ditemukan pada Stasiun 1 karena area hutan bakau tidak terdampak ombak sehingga sampah plastik menumpuk di area tersebut. Penelitian sebelumnya

tentang polimer mikroplastik yang ditemukan di perairan pantai Portugal yaitu *alkyd resin*, *polyacrylate*, *polypropylene* dan *polyethylene* (Frias et al., 2014).

Persentase mikroplastik *film* ditemukan sebanyak 22% dari total partikel mikroplastik sampel air, *fragmen* ditemukan sebanyak 17% dan *fiber* ditemukan sebanyak 60%. Tingginya mikroplastik *film* dan *fiber* pada sampel air Pantai Talang Siring disebabkan oleh banyaknya sampah alat penangkapan ikan dan sampah pengunjung berupa tali tamar, tali rafia, kantong plastik, botol air mineral, senar pancing dan lain-lain.

Penguraian sampah plastik menjadi partikel mikroplastik dipengaruhi oleh densitas komposisi plastik tersebut. Semakin rendah densitas maka semakin cepat sampah plastik terfragmentasi menjadi mikroplastik (Ramadhani, 2019). Mikroplastik *fiber* dan *film* yang memiliki densitas lebih rendah dibandingkan mikroplastik *fragmen* dapat memudahkan proses fragmentasi sehingga lebih banyak ditemukan di perairan. Mikroplastik *fragmen* ditemukan memiliki polimer PEVAC yang tergolong dalam jenis polimer PVC karena sama-sama terbuat dari *petrochemicals* memiliki *specific gravity* berkisar 1,16-1,30 g/cm³, sedangkan mikroplastik *film* dan *fiber* umumnya tersusun dari polimer *polyethylene* dan *polypropylene* yang memiliki *specific gravity* lebih rendah yaitu *polyethylene* 0,91 - 0,95 g/cm³ dan *polypropylene* 0,90 - 0,92 g/cm³ (Widinarko dan Inneke, 2018; Yu, et al., 2016).

Total mikroplastik yang ditemukan pada stasiun 1 pasang berjumlah 489 partikel sedangkan pada saat surut mikroplastik yang ditemukan pada stasiun 1 sebanyak 349 partikel. Stasiun 1 merupakan area hutan mangrove yang tidak terlalu terdampak arus laut sehingga posisi penempatan sampah plastik tidak banyak bergeser, pada stasiun 1 ini ditemukan banyak sampah plastik berupa bungkus makanan dan kantong plastik pada area titik pasang karena terjadi aktivitas pariwisata di Pantai Talang Siring. Hutan mangrove memiliki fungsi penting sebagai peredam gelombang ombak sehingga gelombang yang sampai di pantai mengalami penurunan energi, ketinggian dan penetrasinya (Riyandari, 2017). Hal ini mendukung banyaknya mikroplastik yang ditemukan pada zona pasang air laut dikarenakan akumulasi mikroplastik yang tidak terlalu terdampak oleh ombak karena terhalangi oleh hutan mangrove sehingga mikroplastik hanya mengendap di zona pasang.

Total mikroplastik yang ditemukan pada stasiun 2 dan 3 lebih banyak ditemukan pada saat surut dibandingkan pada saat pasang, yaitu pada stasiun 2 surut sebanyak 353 partikel, sedangkan pada saat pasang sebanyak 269 partikel. Pada stasiun 3 pasang ditemukan mikroplastik sejumlah 467 partikel sedangkan pada saat surut ditemukan mikroplastik sejumlah 298 partikel. Menurut Ballent *et al.* (2012), jumlah kelimpahan mikroplastik dipengaruhi oleh kekuatan fisika yang berasal dari pengaruh pasang surut yang berasal dari pasang surut yang mempengaruhi penempatan partikel mikroplastik pada perairan. Faktor lain yang mempengaruhi yaitu kecepatan alir, kedalaman, topografi, bawah dan berbagai macam musiman arus air (Simpson *et al.*, 2005). Garis pantai pada batas surut terendah merupakan area yang bersifat dinamis,

Mikroplastik bentuk fiber dapat dilihat pada Gambar 4.10 A memiliki morfologi bentuk yang sesuai dengan hasil identifikasi Cole *et al.*, (2011) dan Norén, (2007) dengan ciri identifikasi sebagai berikut :

1. Tidak memiliki sel atau struktur organik.
2. Berbentuk *fiber* dengan ketebalan yang sama di seluruh panjangnya dan tidak boleh semakin meruncing pada sisi ujungnya.
3. Warna partikel mikroplastik harus homogen.
4. *Fiber* tidak bersegmen atau muncul sebagai pita datar yang dipelintir.
5. Partikel tidak memantulkan cahaya.

Karakter mikroplastik bentuk *film* dapat dilihat pada gambar 4.10 B. Mikroplastik dengan bentuk film berasal dari plastik yang memiliki densitas rendah yang dapat terurai dengan cepat menjadi mikroplastik (Rahmadhani, 2019). Mikroplastik *fragmen* dapat dilihat pada Gambar 4.10 C, karakteristiknya berupa partikel potongan suatu produk plastik yang tersusun dari polimer sintesis dengan ikatan yang kuat. Umumnya mikroplastik tipe *fragmen* berasal dari potongan sampah botol minuman, sampah wadah toples, sampah berbahan mika, serpihan galon air, dan serpihan dari pipa paralon (Dewi *et al.*, 2015). Kelimpahan mikroplastik bentuk *fiber*, *fragmen* dan *film* yang di dapat dari sampel sedimen dapat dilihat pada Gambar 4.11.

yaitu sebanyak 10 partikel. Tingginya mikroplastik *film* pada stasiun 1 dikarenakan pada area hutan bakau terdapat banyak tumpukan sampah kantong plastik dan bungkus makanan yang diduga berasal dari aktifitas pariwisata pengunjung Pantai Talang Siring.

Persentase mikroplastik yang ditemukan yaitu *fiber* sebesar 48%, *film* sebesar 48% dan *fragmen* sebanyak 4%. Tingginya mikroplastik *film* dan *fiber* pada sedimen Pantai Talang Siring disebabkan oleh banyaknya sampah alat penangkapan ikan dan sampah pengunjung berupa tali tampar, tali rafia, kantong plastik, botol air mineral, senar pancing dan lain-lain. Penguraian sampah plastik menjadi partikel mikroplastik dipengaruhi oleh densitas komposisi plastik tersebut. Semakin rendah densitas maka semakin cepat sampah plastik terfragmentasi menjadi mikroplastik (Ramadhani, 2019). Mikroplastik *fragmen* ditemukan memiliki polimer PEVAC yang tergolong dalam jenis polimer PVC karena sama-sama terbuat dari *petrochemicals* memiliki *specific gravity* berkisar 1,16-1,30 g/cm³ dan juga PET yang memiliki *specific gravity* 1,22-1,24 g/cm³, sedangkan mikroplastik *film* dan *fiber* umumnya tersusun dari polimer *polyethylene* dan *polypropylene* yang memiliki *specific gravity* lebih rendah yaitu *polyethylene* 0,91 - 0,95 g/cm³ dan *polypropylene* 0,90 - 0,92 g/cm³ (Widinarko dan Inneke, 2018; Yu, *et al.*, 2016). Mikroplastik *fiber* dan *film* yang memiliki densitas lebih rendah dibandingkan mikroplastik *fragmen* dapat memudahkan proses degradasi sehingga *fiber* dan *film* lebih banyak ditemukan di perairan dibandingkan *fragmen*. Penelitian sebelumnya mengenai mikroplastik yang ditemukan pada pantai ekosistem mangrove di Singapura menyebutkan mikroplastik bentuk

termasuk dalam ciri-ciri mikroplastik. Menurut Cole *et al.*, (2011) dan Norén, (2007) identifikasi mikroplastik dapat dilakukan menggunakan warna partikelnya, partikel mikroplastik yang diamati harus memiliki warna yang homogen dan tidak memantulkan cahaya. Mikroplastik berwarna hitam ditemukan sebanyak 25%. Mikroplastik berwarna hitam menandakan bahwa mikroplastik tersebut mengalami perubahan warna karena banyak menyerap kontaminan dari lingkungan yang terserap oleh mikroplastik dan partikel organik pada wilayah tersebut, hal ini disebabkan oleh mikroplastik yang berwarna hitam memiliki kemampuan menyerap polutan yang tinggi (Hiwari *et al.*, 2019).

4.10 Ukuran Mikroplastik pada Sampel Sedimen

Total mikroplastik yang ditemukan pada sampel sedimen yaitu 2235 partikel yang dibagi menjadi dua kategori ukuran mikroplastik yaitu 1-5mm dan <1mm. Mikroplastik berukuran 1-5 mm ditemukan sebanyak 722 partikel sedangkan mikroplastik berukuran <1mm ditemukan sebanyak 1513 partikel. Penelitian sebelumnya mengenai kelimpahan dan karakteristik mikroplastik pada sedimen pantai di Eropa mengemukakan hasil pengelompokan ukuran mikroplastik dengan hasil terbanyak pada ukuran <1.0 sebanyak 55%, 1-2mm sebanyak 21%, 2-3mm sebanyak 12%, 3-4mm sebanyak 5%, 4-5 sebanyak 4%, dan >5mm sebanyak 3% (Lots *et al.*, 2017). Fragmentasi mikroplastik menjadi ukuran mikro dan makro dipengaruhi oleh radiasi sinar UV, gaya mekasik ombak, bahan plastik yang bersifat oksidatif, juga sifat hidrolis air laut (Classens *et al.*, 2013). Perbedaan ukuran mikroplastik dipengaruhi oleh

Terephthalate (PET). PET memiliki serapan pada *wavenumber* 3432, 2969, 2908, 2350, 1960 1730, 1577, 1504, 1453, 1410, 1342, 1240, 1124, 1096, 1050, 972, 872, 848, 795 dan 712 cm^{-1} . Serapan pada *wavenumber* 3435 cm^{-1} merupakan ikatan gugus *hidroxyl* atau OH. Serapan 2996 dan 2913 cm^{-1} adalah C-H, *symmetrical stretching*. Serapan 2350 cm^{-1} adalah formasi *axial symmetrical* dari CO_2 . Serapan pada *wavenumber* 1721 cm^{-1} menandakan adanya ikatan C=O dari grup *carboxyl acid*. Serapan pada 1546 dan 1508 cm^{-1} merupakan vibrasi dari *aromatic skeleton* C=C. Wavenumber 1464 dan 1394 cm^{-1} merupakan peregangan gugus C-O deformasi dengan gugus O-H dan mode vibrasi fleksibel segmen *ethylene glycol*. Serapan wavenumber 1262 dan 1132 cm^{-1} merupakan grup *terephthalate* ($\text{OOC}_6\text{H}_4 - \text{COO}$). Serapan 1057 cm^{-1} merupakan vibrasi ikatan ester C-O. Serapan pada *wavenumber* 935, 865 dan 838 cm^{-1} merupakan ikatan cincin aromatic 1,2,4,5 pada posisi tetra. 1951 dan 744 cm^{-1} merupakan vibrasi dua *hidrogen aromatic* yang berdekatan pada senyawa yang tersubstitusi dan pita aromatik. Serapan 712 merupakan interaksi dari grup polar ester dan cincin benzena (Pereira *et al.*, 2017).

Mikroplastik *fragmen* B memiliki serapan gelombang pada *wavenumber* 3302, 2914, 2848, 1711, 1464 dan 716 cm^{-1} . Mikroplastik B tergolong dalam *poly (ethylene-co-vinyl acetate-co-vinyl chloride)* (PEVAC). Mikroplastik dengan gugus *polyethylene* memiliki ciri-ciri adanya dua pita serapan yang masing-masing berada disekitar *wavenumber* 2917 dan 2851 yang menandakan adanya ikatan CH_2 , selain itu terdapat pita disekitar 1471 yang menandakan adanya ikatan CH_2 , sedangkan serapan gelombang disekitar

1730 cm^{-1} menandakan adanya ikatan C=O yang mencirikan polimer PEVAC dengan tambahan pita CH_2 700-770 cm^{-1} dan juga tambahan gugus O-H pada wavenumber 3300-3400 cm^{-1} (Obbard, 2006; Frias *et al.*, 2014; Perez *et al.*, 2020).

Mikroplastik yang ditemukan pada sampel sedimen Pantai Talang Siring, Kabupaten Pamekasan terdiri dari polimer polyethylene, polypropylene, PET, dan PEVAC. Mikroplastik jenis polypropylene dan polyethylene umumnya berasal dari sampah bungkus tas plastik ataupun kemasan plastik, mikroplastik ini memiliki karakteristik mudah terfragmentasi karena memiliki densitas yang rendah (Kingfisher, 2011). Sampah kemasan plastik dan juga kantong plastik merupakan jenis sampah yang paling banyak ditemukan di Pantai Talang Siring. PET merupakan bahan dasar alat pancing dan jaring (Qiu *et al.*, 2015). Sampah alat pancing dan jaring banyak ditemukan pada stasiun 3 yang merupakan area pelabuhan penangkapan ikan dan tempat keramba ikan, beberapa jaring rusak juga tersangkut pada dahan pohon mangrove di stasiun 1. Polimer PEVAC merupakan salah satu polimer yang sering digunakan pada aktivitas sehari-hari manusia, material ini digunakan sebagai pipa, bahan isolasi listrik atau EVA foam (Li *et al.*, 2016). Sampah serpihan pipa dan juga EVA foam yang umumnya juga digunakan sebagai terpal dan matras ditemukan pada stasiun 3. Penelitian sebelumnya mengenai polimer mikroplastik yang ditemukan pada sedimen Pantai Utara Bohay, China terdiri dari beberapa polimer yaitu, polyethylene, High Density Polyethylene (HDPE), Low Density Polyethylene (LDPE), Polyethylene Terephthalate (PET),

Polysterene (PS), *Alkyd*, *poly (ethylene-co-vinyl acetate-co-vinyl chloride)* (PEVAC) dan *polypropylene* (Yu *et al.*, 2016).

Persentase mikroplastik yang ditemukan yaitu *fiber* sebesar 48%, *film* sebesar 48% dan *fragmen* sebanyak 4%. Penguraian sampah plastik menjadi partikel mikroplastik dipengaruhi oleh densitas komposisi plastik tersebut. Semakin rendah densitas maka semakin cepat sampah plastik terfragmentasi menjadi mikroplastik (Ramadhani, 2019). Mikroplastik *fiber* dan *film* yang memiliki densitas lebih rendah dibandingkan mikroplastik *fragmen* dapat memudahkan proses degradasi sehingga lebih banyak ditemukan di perairan. Mikroplastik *fragmen* ditemukan memiliki polimer PEVAC yang tergolong dalam jenis polimer PVC karena sama-sama terbuat dari *petrochemicals* memiliki *specific gravity* berkisar 1,16-1,30 g/cm³ dan PET yang memiliki *specific gravity* 1,22-1,24 g/cm³, sedangkan mikroplastik *film* dan *fiber* umumnya tersusun dari polimer *polyethylene* dan *polypropylene* yang memiliki *specific gravity* lebih rendah yaitu *polyethylene* 0,91 - 0,95 g/cm³ dan *polypropylene* 0,90 - 0,92 g/cm³ (Widinarko dan Inneke, 2018; Yu, *et al.*, 2016). Mikroplastik *fiber* dan *film* yang memiliki densitas lebih rendah dibandingkan mikroplastik *fragmen* dapat memudahkan proses fragmentasi sehingga lebih banyak ditemukan di perairan.

4.12 Kelimpahan Mikroplastik pada Sampel Kerang Lorjuk

Kerang lorjuk (*Solen sp.*) yang telah diperoleh memiliki Panjang total (TL) 4,5 – 5,3 cm dan berat total (w) 1,30 – 1,68 gram/ 1 ekor kerang lorjuk. Berat basah jaringan lunak tubuh kerang (*soft tissue*) tanpa cangkang adalah

sebagai sumber informasi mengenai sumber sampah laut, atau kondisi dari mikroplastik (Ryan *et al.*, 2019). Mikroplastik yang berwarna menarik memudahkan menggolongkan partikel tersebut kedalam jenis mikroplastik, sehingga memudahkan identifikasi mikroplastik dan partikel non-plastik (Hidalgo-ruz *et al.*, 2012).

4.15 Ukuran Mikroplastik pada Sampel Kerang Lorjuk

Total mikroplastik berukuran 1-5mm yang ditemukan pada kerang lorjuk sebanyak 136 partikel, sedangkan mikroplastik berukuran <1mm ditemukan sebanyak 253 partikel. Penelitian sebelumnya mengenai mikroplastik pada kerang hijau (*Perna canaliculus*) di New Zealand mengemukakan hasil kelimpahan ukuran mikroplastik 100-200 μm sebanyak 52%, 50-100 μm sebanyak 28%, >300 μm sebanyak 19% (Webb *et al.*, 2019).

Ukuran mikroplastik yang ditemukan pada kerang lorjuk (*Solen* sp.) memiliki diameter terkecil 40 μm sedangkan ukuran mikroplastik terbesar 4 mm. Ukuran tersebut tentu saja lebih besar dibandingkan *phytoplankton* yang dicerna dengan kerang (Cartier *et al.*, 2004). Mikroplastik berukuran besar akan berdampak pada efisiensi penyerapan nutrisi ketika tersangkut pada sistem pencernaan kerang, seperti yang telah ditunjukkan penelitian sebelumnya tentang dua spesies bivalvia *Ennucula tenuis* dan *Abra nitida* (Bour *et al.*, 2018). Penyumbatan organ saluran pencernaan dan kerusakan fisik sel pada jaringan pencernaan menyebabkan gangguan penyerapan nutrisi maupun bahaya kimia yang telah diserap partikel mikroplastik dari lingkungan yang tercemar (Laist, 1987; Cole *et al.*, 2013; Wright *et al.*, 2013 a; Wright *et al.*, 2013 b). Sebaliknya, mikroplastik yang berukuran kecil cenderung

Sampel mikroplastik *film* A dan B memiliki serapan gelombang yang serupa. Mikroplastik A memiliki serapan pada *wavenumber* 2918, 2851, 2329, 1739, 1478 dan 717 cm^{-1} , sedangkan mikroplastik B memiliki serapan pada *wavenumber* 3396, 2919, 2850, 2321, 1739, 1463, dan 708 cm^{-1} . Berdasarkan serapan gelombang mikroplastik fiber B tergolong polimer PEVAC dengan penambahan gugus CO_2 dengan deformasi *axial symmetrical*. Mikroplastik PEVAC merupakan gabungan dari *polyethylene* dengan gugus *vinyl acetate*. Mikroplastik dengan gugus *polyethylene* memiliki ciri-ciri adanya dua pita serapan yang masing-masing berada disekitar *wavenumber* 2917 dan 2850 cm^{-1} yang menandakan adanya ikatan CH_2 , selain itu terdapat pita disekitar 1479 cm^{-1} yang menandakan adanya ikatan CH_2 , sedangkan serapan gelombang disekitar 1739 cm^{-1} menandakan adanya ikatan $\text{C}=\text{O}$ yang mencirikan polimer PEVAC dengan tambahan pita CH_2 700-770 cm^{-1} yaitu pada *wavenumber* 757 cm^{-1} dan juga tambahan gugus O-H pada mikroplastik B yang berada pada *wavenumber* 3300-3400 cm^{-1} (Pereira *et al.*, 2017; Obbard, 2006; Frias *et al.*, 2014; Perez *et al.*, 2020).

Mikroplastik yang ditemukan pada sampel kerang lorjuk (*Solen* sp.) di Pantai Talang Siring, Kabupaten Pamekasan yaitu *polyethylene* dan PEVAC. Mikroplastik dengan polimer dasar *polyethylene* diketahui berasal dari plastik kemasan dan fragmentasi plastik kaku (Vianello *et al.*, 2013). Polimer PEVAC merupakan salah satu polimer yang sering digunakan pada aktivitas sehari-hari manusia, material ini digunakan sebagai pipa, bahan isolasi listrik atau *EVA foam* (Li *et al.*, 2016). Penelitian sebelumnya mengenai mikroplastik yang

ditemukan pada kerang biru *Mytilus edulis* di pesisir Atlantik Perancis memiliki berbagai jenis polimer yaitu PP, PE, PE-PP copolymer, PS, PMMA, PL, ABS (Phuong *et al.*, 2017).

Mikroplastik dapat mengganggu secara fisik, kimiawi maupun biologis terhadap tubuh manusia. Secara fisik, mikroplastik yang masuk dalam sistem pencernaan manusia dapat menyebabkan inflamasi pada jaringan hingga berpotensi memicu tumbuhnya sel kanker. Selain itu mikroplastik dapat terserap oleh sel sehingga dapat mengendap dan mengganggu metabolisme tubuh (Prata, 2018).

Manusia yang mengkonsumsi kerang yang mengandung mikroplastik beresiko terdampak berbagai macam penyakit dikarenakan mikroplastik yang dapat menyerap polutan berbahaya dari lingkungannya. Mikroplastik dengan polimer *polyethylene*, PET, PBT dan PVC dapat menyerap logam berat Aluminium (Al) yang dapat memicu penyakit kanker payudara. Logam berat Bromine (Br) dapat terserap oleh mikroplastik dengan polimer dasar PBT, *polyethylene*, PS dan *polypropylene* yang dapat menyebabkan apoptosis dan genotoksisitas. Mikroplastik PVC dapat menyerap senyawa Cadmium (Cd) yang mengakibatkan perubahan pada metabolisme kalsium, fosfor dan tulang, menyebabkan osteomalacia dan patah tulang pada wanita lansia, apoptosis dan metilasi DNA (Campalane *et al.*, 2020).

Semua jenis polimer mikroplastik yang memiliki pigmen merah dapat berpotensi menyerap logam berat Timbal (Pb). Kadar timbal di perairan laut Kabupaten Pamekasan mencapai 0,3466 mg/l, kadar timbal tersebut melebihi ambang batas baku mutu dari Keputusan Menteri Negara Lingkungan Hidup

- Proceeding of The ASEAN Conference on Science and Technology*, 2014, pp. 1–5.
- Barnes, D.K.A, F. Galgani, R. C. Thompson, and M. Barlaz. 2009. “Accumulation and fragmentation of plastic debris in global environments,” *Philos. Trans. R. Soc. B Biol. Sci.*, Vol. 364 (1526) : 1985–1998.
- Barnes, D.K.A., Walters, A., Gonçalves, L., 2010. Macroplastics atsea around Antarctica. *Mar. Environ. Res.* 70: 250-252.
- Bour, A., Haarr, A., Keiter, S., Hylland, K., 2018. Environmentally relevant microplastic exposure affects sediment-dwelling bivalves. *Environment Pollution*. 236: 652–660.
- Breen, M., Howell, T., Copland, P. 2011. A Report On Electrical Fishing For Razor Clams (*Ensis* sp.) And Its Likely Effects On The Marine Environment. Marine Scotland Science Report.
- Browne M.A., Crump P., Niven S.J., Teuten E., Tonkin A., Galloway T., Thompson R. 2011. Accumulation of microplastic on shorelines worldwide: Sources and sinks. *Environ. Science and Tech.* 45(21):9175–9179.
- Browne MA, Dissanayake A, Galloway TS, Lowe DM, Thompson RC. 2008. Ingested microscopic plastic translocates to the circulatory system of the mussel, *Mytilus edulis* (L.). *Environ Sci Technol* 42:5026–5031.
- Campalane, C., Massarelli, C., Savino, I., Locaputo, V., and Uricchio, V.F. 2020. A Detailed Review Study on Potential Effects of Microplastics and Additives of Concern on Human Health. *International Journal of Environmental Research and Public Health*. 17, 1212 : 1-26
- Cauwenberghe, L. V. dan Janssen, C. R. 2014. Microplastics in bivalves cultured for human consumption. *Environmental Pollution*, 193: 65-70.
- Cartier, S., Pellerin, J., Fournier, M., Tamigneaux, E., Girault, L., Lemaire, N., 2004. Use of an index based on the blue mussel (*Mytilus edulis* and *Mytilus trossulus*) digestive gland weight to assess the nutritional quality of mussel farm sites. *Aquaculture*, 241 : 633–654.
- Classens, M., Meester, S. D., Landuyt, L., V., Clerck, K. D., Janssen, C. R., 2011. Occurrence and Distribution of Microplastics in Marine Sediments along the Belgian Coast. *Mar. Pollut. Bull.* 62, 2199-2204.
- Classens, M., L. Van Cauwenberghe, M. B. Vandegehuchte, and C. R. Janssen. 2013. “New techniques for the detection of microplastics in sediments and field collected organisms,” *Mar. Pollut. Bull.*, 70(1–2): 227–233.
- Coan, E. V.; Valentich-Scott, P. (2012). Bivalve seashells of tropical West America. Marine bivalve mollusks from Baja California to northern Peru. 2 vols, 1258 pp.

- Cole, M., Lindeque, P., Halsband, C., and Galloway, T.S., 2011. Microplastics as contaminants in the marine environment: a review. *Mar. Pollut. Bull.* 62 (12), 2588–2597.
- Collignon, A., Hecq, J.H., Galgani, F., Voisin, P., Collard, F., dan Goffart, A. 2012. Neustonic microplastic and zooplankton in the North Western Mediterranean Sea. *Marine Pollution Bulletin*, 64 (2012): 861-864.
- D' Amelia, R.P.D., Huang, L., and Mancuso, J. 2019. Quantitative Analysis of Polyvinyl Alcohol-Polyethylene (PVOH-PE) Copolymers and Polyvinyl Pyrrolidone-Polyvinyl Acetate (PVP-PVAc) Copolymers and Blends Using Fourier Transform Infrared Spectroscopy and Elemental Analysis. *World Journal of Chemical Education*, 7(1) : 1-11.
- Departemen Agama R.I. 2007. Al-Qur'an dan Terjemahannya. CV. Diponegoro. Jakarta.
- Desforges, J.W., Galbraith M., Dangerfield N., Ross P.S. 2014. Widespread distribution of microplastics in subsurface seawater in the NE Pacific Ocean. *Marine Pollution Bulletin*, 79:94–99. doi:10.1016/j.marpolbul.2013.12.035
- Dewi, I.S., Budiassa, A.A., Ritonga, I.R. 2015. Distribusi Mikroplastik pada Sedimen di Muara Badak, Kabupaten Kutai Kartanegara. *Depik*, 4(3): 121-131.
- Di, M. and J. Wang. 2018. Microplastics in surface waters and sediments of the Three Gorges Reservoir, China. *Science Total Environment*, vol. 616–617, pp. 1620–1627.
- Ditjen PPHP. 2010. Warta Pasarikan Edisi Maret 2010/Vol.79. Kerang-Pasar Cemerlang, Pasokan Kurang. Jakarta: Direktorat Jenderal Pengolahan dan Pemasaran Hasil Perikanan, Kementerian Kelautan dan Perikanan.
- Ekosafitri, K.H., Rustiadi, E. & Yulianda, F. 2015. Pengembangan Wilayah Pesisir Pantai Utara Jawa Tengah Berdasarkan Infrastruktur Daerah. *Jurnal Perencanaan dan Pembangunan Wilayah Perdesaan*, 1(2):145-157.
- Eriksen, M., Labreton, L.C.M., Carson, H.S., Thiel, M., Moore, C.J., Borerro, J.C., Galgani, F., Ryan, P.G., and Reisser, J. 2014. Plastic Pollution in the World's Oceans: More than 5 Trillion Plastic Pieces Weighing over 250,000 Tons Afloat at Sea. *PLOS ONE research article* : 1-15.
- Eriksen, M., Mason, S., Wilson, S., Box, C., Zellers, A., Edwards, W., Farley, H., Amato, S., 2013. Microplastic pollution in the surface waters of the Laurentian Great Lakes. *Mar. Pollut. Bull.* 77, 177–182.
- Fetrisia, R.G. 2011. Komposisi Kimia Kerang Pisau (*Solen spp*) dari pantai Kejawanan, Ciebon, Jawa Barat. Skripsi. Departemen Teknologi Hasil Perairan, Fakultas Perikanan dan Ilmu Kelautan, Institut Pertanian Bogor, Bogor.

- Fitri, E. F., M. Fauzi dan Adriman. 2019. Jurnal Jenis Kepadatan Mikroplastik di Kawasan Pantai Desa Apar Kota Pariaman Provinsi Sumatera Barat. Fakultas Perikanan dan Kelautan, Universitas Riau. Pekanbaru.
- Fitri, I. A., 2017. Studi Awal Mikroplastik pada Kerang Darah (*Anadara granosa*) dari Tambak Lorok Semarang. *Skripsi*. Program Studi Teknologi Pangan, Universitas Katolik Soegijapranata, Semarang.
- Frias, J.P.G.L, Otero, V. dan Sobral, P. 2014. Evidence of microplastics in sample of zooplankton from Portugese coastal waters. *Marine Environmental Research*, 95(2014): 89-95.
- Gross, M.G. 1990. Oceanography : A View of Earth. Prentice Hall, Inc. Englewood Cliff. New Jersey.
- Guo, X., & Wang, J. 2019. The chemical behaviors of microplastics in marine environment: A review. *Marine Pollution Bulletin*, 142 :1–14.
- Hapitasari Nur D. 2016. Analisis Kandungan Mikroplastik pada pasir dan ikan demersal:Kakap (*Lutjanus* sp.) dan Kerapu (*Epinephelus* sp.) di pantai Ancol, Pelabuhan Ratu. *Skripsi*. Bogor.IPB.
- Hastuti A. R. 2014. Distribusi Spasial Sampah Laut Di Ekosistem Mangrove Pantai Indah Kapuk Jakarta. Skripsi. Bogor, Indonesia: Departemen Manajemen Sumber Daya Perairan, Institut Pertanian Bogor.
- Hidalgo-Ruz, V., Gutow, L., Thompson, R. C., & Thiel, M. 2012. Microplastics in the marine environment: A review of the methods used for identification and quantification. *Science & Technology*, 46, 3060–75.
- Hiwari, H., N. P. Purba, Y. N. Ihsan, L. P. S. Yuliadi dan P. G. Mulyani. 2019. Kondisi sampah mikroplastik di permukaan air laut sekitar Kupang dan Rote, Provinsi Nusa Tenggara Timur. Prosiding Seminar Nasional Masy Biodiv Indon, 5(2):165-171.
- Hollman, P.C.H., H. Bouwmeester, and R.J.B. Peters. (2013). Microplastics in the aquatic food chain: Sources, measurement, occurrence and potential health risks. RIKILT Wageningen UR, Wageningen.
- Jambeck JR, Geyer R, Wilcox C, Siegler TR, Perryman M, Andrady A, Narayan Junaidi. 2015. Statistik Uji Kruskal Wallis. Jambi. Fakultas Ekonomi Universitas Jambi.
- Jiang, Y., Yanan Z., Xin W., Fan Y., Mei C., and Jun W. 2020. Characterization of microplastics in the surface seawater of the South Yellow Sea as affected by season. *Science of the Total Environment*. 724 (2020) 138375.
- Joesidawati, M.I. 2018. Pencemaran Mikroplastik di Sepanjang Pantai Kabupaten Tuban. Prosiding Seminar Nasional Hasil Penelitian dan Pengabdian kepada Masyarakat III Universitas PGRI Ronggolawe Tuban.
- Jovanović, B. (2017). Ingestion of Microplastics by Fish and Its Potential Consequences from a Physical Perspective. *Integr Environ Assess Manag*, 13(3): 510–515.

- Kapo, F. A., Toruan, L. N. L., dan Paulus C.A. 2020. Jenis dan Kelimpahan Mikroplastik pada Kolom Permukaan Air di Perairan Teluk Kupang. *Jurnal Bahari Papadak*. 1(1): 10-21.
- Katsanevakis, S. dan A.Katsarou. 2004. Influences on the distribution of marine debris on the seafloor of shallow coastal areas in Greece (Eastern Mediterranean). *Water, Air, and Soil Pollution*, 159:325-337.
- Kingfisher, J. 2011. Microplastic Debris Accumulation on Puget Sound Beaches. Port Townsend Marine Science Center.
- Kinjo, A., Mizukawa, K., Takada, H., dan Inoue, K. 2019. Size-dependent elimination of ingested microplastics in the Mediterranean mussel *Mytilus galloprovincialis*. *Marine Pollution Bulletin*. 149 (2019) 110512 :1-6.
- Laist, D.W., 1987. Overview of the biological effects of lost and discarded plastic debris in the marine-environment. *Marine Pollution Bulletin* 18 (6): 319–326. Supplement B.
- Li J., X. Qu., L. Su., W. Zhang, D. Yang, P. Kolandhasamy, D. Li, and H. Shi. 2016. Microplastics in mussels along the coastal waters of China. *Environmental Pollution*, 214: 177 –184.
- Linnaeus, C. (1758). *Systema Naturae per regna tria naturae, secundum classes, ordines, genera, species, cum characteribus, differentiis, synonymis, locis*. Editio decima, reformata [10th revised edition], vol. 1: 824 pp. Laurentius Salvius: Holmiae. , available online at <https://biodiversitylibrary.org/page/726886> page(s): 645, 672
- Lots, F.A.E., P. Bahrens, M.G. Vijver, A.A. Horton, T. Bosker. 2017. A large-scale investigation of microplastics contamination: Abundance and characteristics of microplastics in European beach Sediment. *Marine Pollution Bulletin* (2017). <http://dx.doi.org/10.1016/j.marpolbul.2017.08.057>.
- Lusher, A. L., McHugh, M., & Thompson, R. C. 2013. Occurrence of microplastics in the gastrointestinal tract of pelagic and demersal fish from the English Channel. *Marine Pollution Bulletin*.67(1–2): 94–99.
- Mauludy, M.S., A. Yunanto dan D. Yona. 2019. Kelimpahan Mikroplastik pada Sedimen Pantai Wisata Kabupaten Badung, Bali. *Junral Perikanan Universitas Gadjah Mada*. 21 (2) : 73-78.
- Mayoma, B.S., Christina S., Yvonne S., and Farhan R.K. 2020. Microplastics in beach sediment and cockles (*Anadara antiquata*) along the Tanzanian coastline. *Bulletin of Environmental and Toxicology*, <https://doi.org/10.1007/s00128-020-02991>
- Moore, C.J., Lattin, G.L. and Zellers, A.F. 2011. Quantity and type of plastic flowing from two urban rivers to coastal waters and beaches of Southern California. *Journal of Integrated Coastal Zone Management* 11(1) : 65-73.

- Narbuko, K., & Achmadi, H. A. (2003), Metodologi Penelitian. Jakarta: PT. BumiAksara
- Ni'mah, Lukman, Juwono. 2009. Synthesis and characterization of HDPE plastik film for herbicide containwe using fly ash class as filler. Surabaya. ITS.
- Nor, N.H.M. and Obbard, J.P. 2014. Microplasticsnin Singapore's coastal mangrove ecosystems. *Marine Pollution Bulletin*, 79(2014): 278-283.
- Norén, F., 2007. *Small plastic particles in Coastal Swedish waters*. KIMO. Sweden.
- Nurjanah, Tarman K, Rusyadi S. 2008. Karakteristik gizi dan potensi pengembangan kerang pisau (*Solen spp*) di perairan Kabupaten Pamekasan, Madura. *Jurnal Perikanan dan Kelautan*. 13(1):41-51.
- Obbard, J.P. 2006. Prevalence of Mikcroplastics in Singapore's Coastal Marine Environment. *Marine Pollution Bulletin*, 52(2006): 761-767.
- Oliver Bajt, Karolina Szewc, Petra Horvat, Polona Pengal, Mateja Grego. 2015. Microplastics in sediments and fish of the Gulf of Trieste. Micro 2015: Book of abstracts.
- Pawar, P.R., Shirgaonkar, S.S., & Patil, R.B. 2016. Plastic marine debris: Sources, distribution and impacts on coastal and ocean biodiversity. Pencil : Publication of Biological Sciences, 3(1):40–54.
- Peraturan Daerah Provinsi Jawa Timur Nomor 1. 2018. Tentang Zonasi Wilayah Pesisir dan Pulau-pulau Kecil Provinsi Jawa Timur Tahun 2018-2038.
- Perez, A.F., Ojeda, M., Rimondino, G.N. Chiesa, I.L., Mauro, R.D., Boy, C.C., dan Calcagno, J.A. 2020. First report of microplastics presencein the mussel *Mytilus chilensis* from Ushuaia Bay (Beagle Channel, Tierra del Fuego, Argentina). *Marine Pollution Bulletin*. 161 (2020) 111753 :1-8.
- Periera, A.P.S., Silva, M.H.P., Junior, E.P.L., Paula, A.S., Tommasini, F.J. 2017. Processing and Characterization of PET Composites Reinforced With Geopolymer Concrete Waste. *Materials Research* : 1-10 DOI: <http://dx.doi.org/10.1590/1980-5373-MR-2017-0734>
- Phuong NN, Poirier L, Pham QT, Lagarde F, Zalouk-Vergnoux A 2017. Factors in fluencing the microplastic contamination of bivalves from the French Atlantic coast : location, season and/or mode of life? *MarPollut Bull* [Internet]:0–1. doi: 10.1016/j.marpolbul.2017.10.054
- Pipkin, B.W. 1977. Laboratory Exercise in Oceanography. San Fransisco : W.H.
- Prata, Joana Correia. 2018. Airborne microplastics: Consequences to human health? *Environmental Pollution*, 234: 115–126.
- Pratama, D.R., Yusuf, M., Helmi, M. 2016. Kajian Kondisi dan Sebaran kualitas air di Perairan Selatan Kabupaten Sampang, Provinsi Jawa Timur. *Jurnal Oseanografi*, 5(4) : 479-488.

- Qiu, Q., Peng, J. Yu, X., Chen, F., Wang, J., Dong, F. 2015. Occurrence of microplastics in the coastal marine environment: First observation on sediment of China. *Marine Pollution Bulletin* (2015) : 1-7
<http://dx.doi.org/10.1016/j.marpolbul.2015.07.028>
- Rahmadhani, F. 2019. Identifikasi dan Analisis Kandungan Mikroplastik pada Ikan Pelagis dan Demersal Serta Sedimen dan Air Laut di Perairan Pulau Mandangin Kabupaten Sampang. *Skripsi*. Program Studi Ilmu Kelautan Fakultas Sains dan Teknologi Universitas Islam Negeri Sunan Ampel.
- Rafi, M., Widia C. A. dan Tun T. I. 2016. Potensi Spektroskopi FT-IR ATR dan Kemometrik untuk Membedakan Rambut Babi, Kambing dan Sapi. *Indo. J. Chem. Sci.* 5 (3): 229-234. Surabaya.
- Riyandari, R. 2017. Peran Mangrove dalam Melindungi Daerah Pesisir terhadap Gelombang Tsunami. *Jurnal Sains dan Teknologi Mitigasi Bencana*, 12(1) : 74-80.
- Rizkiyani, A.H. 2016. Peningkatan Kualitas Pelayanan Obyek Wisata Pantai Talang Siring di Kabupaten Pamekasan. *Tesis*. Program Magister Bidang Keahlian Managemen Industri Program Pasca Sarjana Institut Teknologi Sepuluh November Surabaya.
- Rochman, C.M., A. Tahir., S.L. Williams, D. V. Baxa, R. Lam, J. T. Miller, Foo-Ching Teh, S. Werorilangi, S. J. Teh. 2015. Anthropogenic debris in seafood: Plastic debris and fibers from textiles in fish and bivalves sold for human consumption. *Nature*.doi:10.1038/srep14340.
- Rustam, Agustin, *et al.* 2015 "Peran Ekosistem Lamun Sebagai Blue Carbon Dalam Mitigasi Perubahan Iklim, Studi Kasus Tanjung Lesung, Banten." *Jurnal Segara* 10(2): 1-14.
- Rusyadi, S. 2006. Karakteristik Gizi dan Potensi Pengembangan Kerang Pisau (*Solen spp*) di Perairan Kabupaten Pamekasan Madura. *Skripsi*. Bogor: Program studi Teknologi Hasil Perikanan Fakultas Perikanan dan Ilmu Kelautan Institut Pertanian Bogor.
- Ryan, P.G., Turra A., Galgani F. dan Kershaw P.J. 2019. Guidelines for The Monitoring and Assessment of Plastic Litter In The Ocean Reports and Studies 99. GESAMP. *United Nations Environment Programme* (UNEP).
- Sari, K. 2018. Keberadaan Mikroplastik pada Hewan Filter Feeder di Padang Lamun Kepulauan Spermonde Kota Makassar. *Skripsi*. Program Studi Kelautan, Fakultas Ilmu Kelautan dan Perikanan Universitas Hasanuddin, Makassar.
- Savitri, A.F. 2020. Jenis dan Kepadatan Mikroplastik di Kawasan Pesisir Kota Pariaman Provinsi Sumatera Barat. *Jurnal*. Fakultas Perikanan dan Kelautan Universitas Riau Pekanbaru : 1-9.
- Simpson, S. L., G. E. Batley., A. A. Chariton., J. L. Stauber., C. K. King., J. C. Chapman., R. V. Hyne., S. A. Gale., A. C. Roach., dan W. A. Maher. 2005.

- Handbook for Sediment Quality Assessment. CSIRO: Bangor, NSW, 2 pages.
- Storck, F.R., Kools, S.A.E., Rinck-Pfeiffer, S., 2015. Microplastic in fresh water resources, in: Science Brief. Global Water Research Coalition, Australia, p. 7.
- Su, L., Cai, H., Kolandhasamy, P., Wu, C., Rochman, C.M., Shi, H. 2018. Using the Asian clam as an indicator of microplastic pollution in freshwater ecosystems. *Environmental Pollution*. 234(2018): 347-355.
- Supriharyono, 2002. Konservasi ekosistem Sumberdaya Hayati. Penerbit Pustaka Belajar. Yogyakarta.
- Tanković, M.S. Perusco, V.S., J. Godrijan, D., M. Pfannkuchen. 2015. Marine plastic debris in the northeastern Adriatic. Micro 2015. Book of abstracts. National Oceanic and Atmospheric Administration. 2013. Programmatic environmental assessment (PEA) for the NOAA Marine Debris Program (MDP). Maryland (US): NOAA. 168 pp.
- Tiwari, M., Rathod, T.D., Ajmal, P.Y., Bhangare, R.C., Sahu, S.K. 2019. Distribution and Characterization of Microplastics in Beach Sand from Three Different Indian Coastal Environments. *Marine Pollution Bulletin*. 140 (2019): 262-273.
- Thompson, R. C., C. Moore, vom Saal, F. S. & Swan, S. H. 2009. Plastics, the environment and human health: current consensus and future trends. *Phil. Trans. R. Soc. B* 364. doi:10.1098/rstb.2009.0053.
- Vianello, A., Boldrin, A., Guerriero, P., Moschino, V., Rella, R., Sturaro, A., and Da Ros, L. 2013. Microplastic Particles in Sediment of Lagoon of Venice, Italy: First Observation on Occurrence, Spatial Patterns and Identification. *Estuarine, Coastal and Shelf Science*, 130 (2013) : 54-61.
- Wahdani, A., K. Yaqin, N. Rukminasari, Suwarni, Nadiarti, D. F. Inaku, dan L. Fachruddin. 2020. Konsentrasi Mikroplastik pada Kerang Manila *Venerupis philippinarum* Di Perairan Maccini Baji, Kecamatan Labakkang, Kabupaten Pangkajene Kepulauan, Sulawesi Selatan. *Maspari Journal*, 12(2): 1-13.
- Wahyu, N, S.T. 2016. Studi Tingkat Kematangan Gonad Lorjuk (*Solen sp.*) Di Pantai Pamekasan Madura. Skripsi. Jurusan Biologi Fakultas Matematika dan Ilmu Pengetahuan Alam Institut Teknologi Sepuluh Nopember Surabaya.
- Webb, S. H. Ruffle, I. Marsden, O. Pantos dan S. Gaw. 2019. Mikroplastics in the New Zealand green lipped mussel *Perna canaliculus*. *Marine Pollution Bulletin*. 149 (2019) 110641 : 1-3.
- Widinarko dan Inneke. 2018. Mikroplastik dalam seafood dari pantai Utara Jawa. Unika . Semarang. Soegijapranata. ISBN 978-602-6865-74-8.

- Wright, S.L., Rowe, D., Thompson, R.C., Galloway, T.S., 2013a. Microplastic ingestion decreases energy reserves in marine worms. *Curr. Biol.* 23 (2), R1031–R1033. <https://doi.org/10.1016/j.cub.2013.10.068>.
- Wright, S.L., Thompson, R.C., Galloway, T.S., 2013b. The physical impacts of microplastics on marine organisms: a review. *Environment Pollution*. 178: 483–492.
- Xiong, X., Zhang, K., Chen, X., Shi, H., Luo, Z., dan Wu, C. 2018. Sources and distribution of microplastics in China's largest inland lake—Qinghai Lake. *Environment Pollution*, 235: 899–906.
- Yu X, Peng J, Wang J, Wang K, Bao S 2016. Occurrence of microplastics in the beach sand of the Chinese inner sea: the Bohai Sea. *Environment Pollution*. 214:722–730. doi:10.1016/j.envpol.2016.04.080
- Yudhantari, C.I.A.S, I.G. Herawan, N.L.P.R. Puspita. 2019. Kandungan Mikroplastik pada Saluran Pencernaan Ikan Lemuru Protolan (*Sardinella lemuru*) Hasil Tangkapan di Selat Bali. *Journal of Marine Research and Technology*, 2(2) :47-51.
- Zhang W, Zhang S, Wang J, Wang Y, Mu J, Wang P, Lin X, Ma D. 2017. Microplastic pollution in the surface waters of the Bohai Sea, China. *Environ Pollut* 231: 541-548.